



## سنگ‌شناسی و شیمی کانی‌ها در سیلیکات‌های آهکی مجموعه دگرگونی ده‌سلم، شرق قطعه لوت: شاهدی بر رخداد دگرگونی پیشرونده تا آستانه رخساره گرانولیت

**الهام بهرام نژاد\*** ، ساسان باقری، اعظم زاهدی

گروه زمین‌شناسی، دانشکده علوم پایه، دانشگاه سیستان و بلوچستان

(دریافت مقاله: ۹۹/۴/۱۷، نسخه نهایی: ۹۹/۲/۱۰)

**چکیده:** مجموعه دگرگونی ده‌سلم شامل سنگ‌های متاپلیتی، متاپریدوتیت و سیلیکات‌آهکی یکی از محدود رخنمون‌های پی-سنگ قطعه لوت است که در نزدیکی پهنه جوش‌خورده سیستان ظاهر شده است. در بخش شرقی مجموعه دگرگونی ده‌سلم مجموعه‌ای از سنگ‌های مرمر و سیلیکات‌آهکی به شکل عدسی‌های زمین‌ساختی دراز دیده می‌شوند که به نظر در شرایط مشابه دما و فشار نسبت به سایر سنگ‌های پیرامون خود دگرگون شده‌اند. نتایج بررسی‌های سنگ‌شناسی و کانی‌شناسی بیانگر وجود همبزایی‌های مختلف اما شرایط دگرگونی مشابه در سیلیکات‌های آهکی مورد بررسی است. مهم‌ترین همبزایی‌های شناسایی شده شامل اسکاپولیت + فلدسپار پتاسیم + پلازیوکلаз + تیتانیت، اسکاپولیت + پیروکسن، آمفیبیول + گارنت + اپیدوت و گارنت + ولاستونیت + پیروکسن هستند. نتایج تجزیه شیمیایی با ریزکاو الکترونی، اسکاپولیت‌های موجود را در گروه انواع کلسیمی معرفی می‌نماید. این کانی‌ها دارای ترکیب میزونیت ( $Me\% = 70 - 80$ ) هستند. فلدسپارهای پتاسیم موجود در سنگ‌های سیلیکاتی آهکی به قطب ارتوز نزدیک هستند و پلازیوکلازها ترکیب آندزین دارند. گارنت‌های موجود در سنگ‌های مورد بررسی غنی از عضو نهایی گروسولار هستند. پیروکسن‌های موجود در سنگ‌های سیلیکاتی آهکی کلینوپیروکسن‌های با ترکیب دیوپسید هستند. بررسی همبزایی‌های دگرگونی، بررسی داده‌های زمین‌شیمیایی و مقایسه درجه دگرگونی سنگ‌های سیلیکاتی آهکی با متاپلیت‌های کنار خود بیانگر وجود یک دگرگونی ناحیه‌ای پیشرونده از غرب به بخش شرقی مجموعه، در حد رخساره‌های آمفیبیولیت‌بالایی و آغاز گرانولیت است. این دگرگونی ناحیه‌ای در ژواراسیک پسین و به احتمال بسیار در موقعیت کمان ماقمایی، همزمان با شکل‌گیری گرانیت شاهکوه در پهنه فروزانش نئوتیتیس در منطقه ده‌سلم رخ داده است.

**واژه‌های کلیدی:** مجموعه دگرگونی ده‌سلم؛ شاهکوه؛ نهیندان؛ سیلیکات‌آهکی؛ قطعه لوت.

متاپلیت‌ها و متاکربنات‌ها دیده می‌شوند، افزون بر این، سیلیکات‌های Ca-Al داری چون پیروکسن‌های کلسیمی، آمفیبیول‌های کلسیمی، کانی‌های گروه اپیدوت، لاوسونیت، مارگاریت، اسکاپولیت و وزوویانیت نیز حضور دارند [۳]. مارن-های دگرگون شده دارای ترکیب شیمیایی پیچیده‌ای هستند و از نظر شیمیایی در دو گروه سنگ‌های غنی از Al و سنگ‌های فقیر از Al جای می‌گیرند و در بیشتر کمربندهای کوه‌زایی حضور دارند [۴-۷]. کلسیت و کوارتز دو فاز اصلی سنگ‌های

### مقدمه

سنگ‌های دگرگون شده کربناتی به طور عمده در دو گروه مرمرها و سیلیکات‌های آهکی جای می‌گیرند. سنگ‌های سیلیکاتی آهکی نسبت به مرمرها کربنات کمتری دارند و از دگرگونی مارن‌ها ایجاد می‌شوند. مارن‌ها رسوب‌های پلیتی کربنات‌داری هستند که از نظر ترکیبی در گسترهای از سنگ-های کربناتی ناخالص تا پلیت‌های خالص جای می‌گیرند [۱-۳]. در مارن‌های دگرگون شده اغلب همان کانی‌های موجود در

دگرگونی دهسلم، از رخنمونهای سنگی موجود نمونه برداری شد. از میان نمونههای برداشت شده، تعداد ۵۰ مقطع نازک تهیه و همبازابی فازهای موجود توسط میکروسکوپ قطبشی بررسی گردید. برای تعیین ترکیب شیمیایی کانیهای موجود در سنگهای سیلیکاتی آهکی تجزیه شیمیایی به شیوه ریز کاوالکترونی برای عناصر اصلی در نمونههای مورد نظر توسط ابرکاوشگر خودکار مدل JOEL-JXA-8600M با ولتاژ شتاب-دهنده  $15\text{kV}$  و جریان اشعه‌ای  $\text{Amp} \times 2 \times 10^{-8}$  در بخش علوم زمین و محیط زیست دانشگاه یاماگاتای کشور ژاپن انجام شد.

#### بررسی زمین‌شناسی

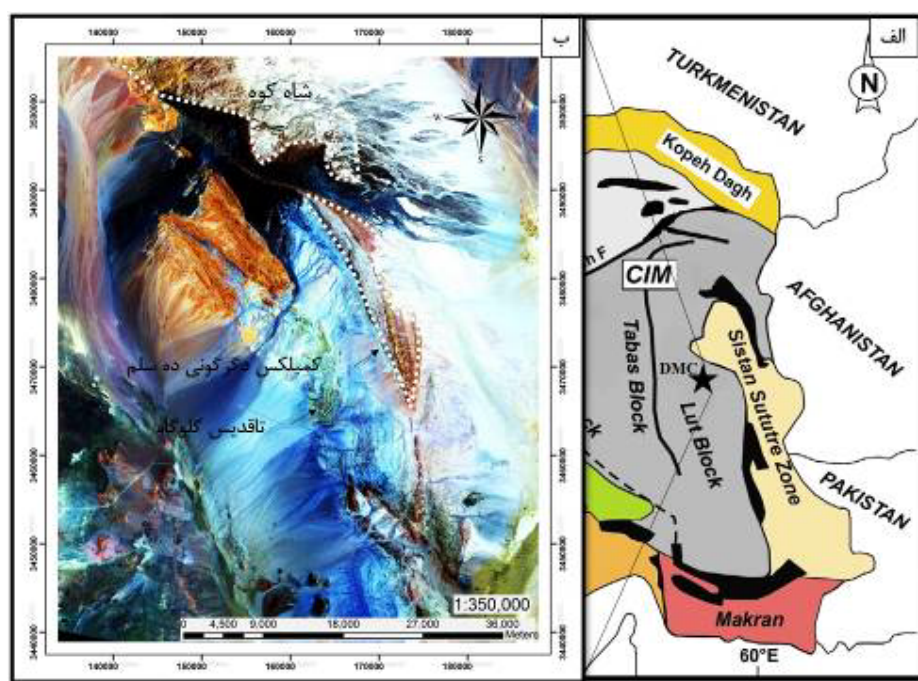
مجموعه دگرگونی دهسلم با سن ژوراسیک پسین [۱۷] و با روند تقریبی شمالی – جنوبی در کرانه شرقی خرد قاره ایران مرکزی و قطعه لوت و در جنوب گرانیت شاهکوه واقع شده است [۹] (شکل ۱). این مجموعه از نظر ویژگی‌های ساختاری و سنگ‌شناسی به پنج واحد زمین‌ساختی A تا E تقسیم شده است [۱۱-۱۳]. (شکل ۲).

بر نقشه‌های زمین‌شناسی منطقه (شکل ۲)، گسترش سنگ‌های دگرگونی در مجموعه یاد شده به دو بخش پایینی و بالایی محدود است [۱۸-۲۰] که به احتمال بسیار معادل سازندهای نای‌بند و شمشک وابسته به اواخر تریاس- ژوراسیک هستند [۲۱]. در این راستا، بر بریان [۲۲] سنگ‌های موجود در مجموعه دگرگونی دهسلم را معادل سازندهای پالئوزوئیک پیشین ایران مرکزی می‌داند که طی رخداد کوه‌های سیمیرین پیشین دگرگون شده‌اند [۲۳]. بر اساس شواهد زمین‌شناسی و پارینه مغناطیس‌سنگی [۲۳]، خرد قاره ایران مرکزی و شرقی از تریاس تا عهد حاضر به اندازه  $135^\circ$  درجه خلاف جهت عقربه‌های ساعت چرخیده است. بنابراین مجموعه دگرگونی دهسلم به نوار سنندج - سیرجان متصل است و سرگذشتی مشابه آن دارد. نتایج بررسی‌های انجام شده برای تعیین سن مطلق مجموعه‌ی دگرگونی بر پایه نسبت  $\text{Rb/Sr}$  بیانگر سن‌های متوسط  $20.9 - 20.6$  میلیون سال [۲۴] و  $165 \pm 10$  میلیون سال [۲۵] است. این در حالی است که بر پایه نتایج جدید سن‌سنگی، بر اساس نسبت  $\text{U/Pb}$  برای تک دانه‌های زیرکن، مونازیت و زینوتایم سن مجموعه دگرگونی دهسلم  $163 - 168$  میلیون سال است [۱۵]. چنین سنی با سن  $168 - 161$  میلیون به دست آمده برای گرانیت شاهکوه به روشن K-Ar همخوانی دارد [۲۶].

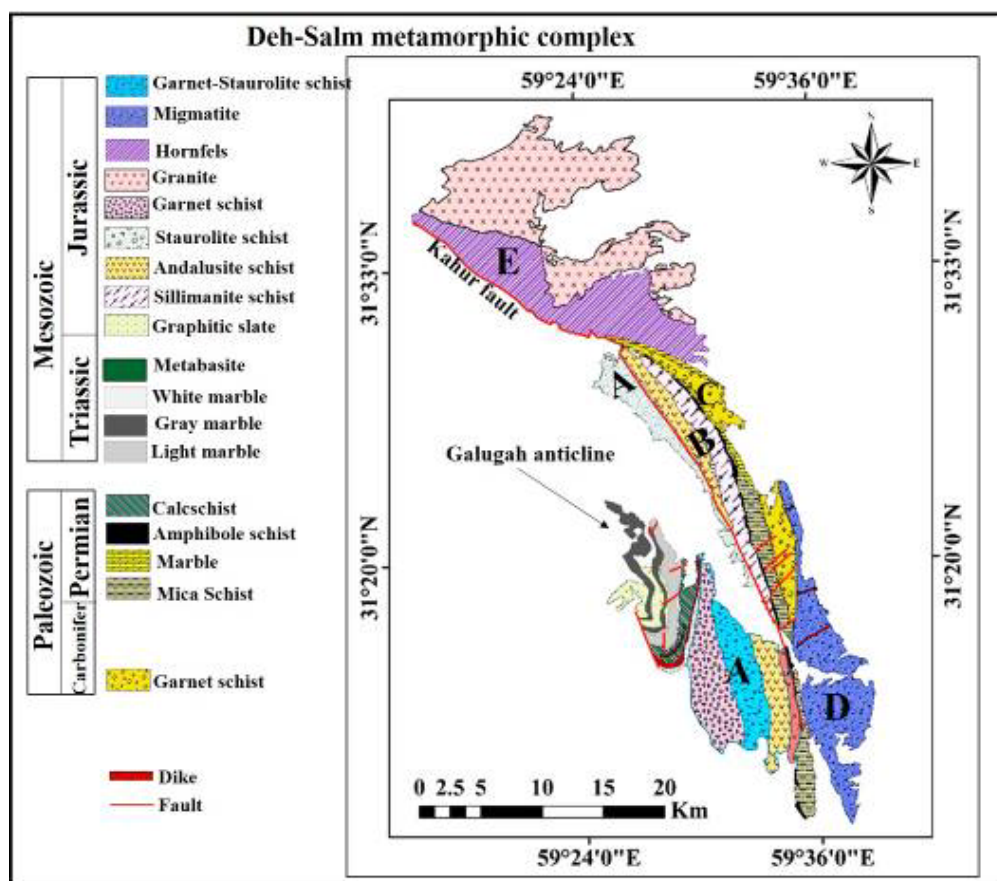
سیلیکاتی آهکی محسوب می‌شوند؛ یک فاز سیال حاوی  $\text{H}_2\text{O}$ ,  $\text{CO}_2$  و گاهی  $\text{SO}_4$  نیز طی دگرگونی حضور دارد. مجموعه کانی‌های موجود در تعادل سنگ‌های سیلیکاتی آهکی مهم‌ترین سنجه‌ها برای تغییرات دما، فشار و ترکیب سیال مربوط به رخسارهای دمایی بالا هستند [۸].

مجموعه دگرگونی دهسلم با تنوعی از سنگ‌های دگرگونی و تا حدی ماگمایی و با روند تقریبی شمالی – جنوبی در کرانه شرقی خرد قاره ایران مرکزی و قطعه لوت واقع است [۹]. منطقه مورد بررسی در جنوب استان خراسان جنوبی قرار دارد که از غرب به شهرستان نهبندان و از شرق به شهداد محدود است. از شهرستان نهبندان پس از طی مسافت تقریبی ۶۰ کیلومتر در مسیر جاده شهداد به منطقه مورد بررسی می‌رسیم. در سال‌های گذشته، پژوهش‌های بسیاری پیرامون مجموعه دگرگونی دهسلم انجام شده است [۱۰-۱۴] که بیانگر وجود مجموعه‌ای از سنگ‌های دگرگونی اغلب شامل اسلیت، فیلیت، شیست، میگماتیت، متاپابازیت، متاپریدوتیت و سیلیکات آهکی به همراه رخنمونی از توده‌های نفوذی در منطقه هستند. سنگ‌های سیلیکاتی آهکی به همراه مرمر، متاپابازیت، متاپریدوتیت و میگماتیت در شرق مجموعه دگرگونی دهسلم رخنمون دارند. دما و فشار سنجی انجام شده بر متاپابازیت‌های نزدیک به واحدهای سیلیکات آهکی دمای  $70.7/7^\circ\text{C}$  و فشار ۵۸۶ را نشان می‌دهد [۱۵]. دما‌سنجی‌های انجام شده براساس تغییرات عناصر  $\text{Fe}$  و  $\text{Mg}$  در زوج در تعادل گارنت - بیوتیت نشانگر دمایی در گستره  $450 - 550$  درجه سانتی‌گراد از رخساره شیست‌سبز در بخش غربی (منطقه گلوگاه) تا دمای بیش از  $70^\circ$  درجه سانتی‌گراد در متاپلیت‌های بخش شرقی و کنار واحدهای سیلیکات آهکی در مجموعه دگرگونی دهسلم است [۱۶]. با وجود پژوهش‌های سیلیکاتی آهکی در مجموعه دگرگونی دهسلم و ارتباط آن‌ها با سایر سنگ‌های موجود صورت نگرفته است. در این پژوهش، برای نخستین بار ضمنن بررسی سنگ‌شناسی، کانی‌شناسی و شیمی کانی‌های موجود در سنگ‌های سیلیکاتی آهکی، شرایط دما و فشار این سنگ‌ها طی دگرگونی بازسازی شد که نتایج آن برای مقایسه و تایید نتایج پیشین در ارتباط با سایر ترکیب‌های شیمیایی سنگ‌های اولیه ضروری به نظر می‌رسد.

**روش بررسی**  
به منظور بررسی سنگ‌های سیلیکاتی آهکی در مجموعه



شکل ۱ (الف) موقعیت مجموعه دگرگونی دهسلم در کرانه شرقی خرد قاره ایران مرکزی و قطعه لوت [۲۶]؛ ب) تصویر ماهواره‌ای مجموعه دگرگونی دهسلم و موقعیت آن در جنوب گرانیت شاه‌کوه (برگرفته از تصاویر ماهواره‌ای لندست).



شکل ۲ نقشه زمین‌شناسی مجموعه دگرگونی دهسلم برگرفته از نقشه ۱:۱۰۰۰۰۰ [۱۸] با پاره‌ای تصحیحات.

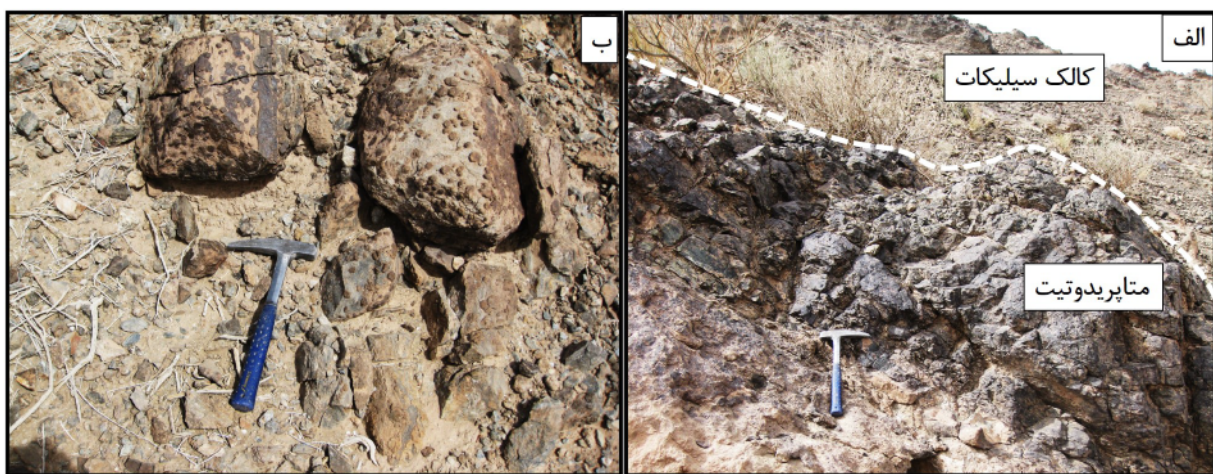
ارتباط زمین ساختی و همزیستی متاپریدوتیت - متابازیت-ها با کربنات‌ها در مجموعه دگرگونی دهسلم امری بدیهی و انکار نشدنی است. در برخی از مناطق، توالی مرمر و متابازیت نشانگر رسوب‌گذاری همزمان کربنات‌ها و خروجی‌های بازالتی بوده اما ارتباط پریدوتیت با کربنات‌ها گسله است (شکل ۵).<sup>۵</sup> متابازیت‌ها تا حد رخساره‌ی آمفیبولیت و در پارهای از مناطق تا حد پهنه پیروکسن‌آمفیبولیت دگرگون شده‌اند [۱۴]. پسامیت‌ها تا حد میگماتیت‌های متاتاکسیتی ذوب شده‌اند و بسیاری از آن‌ها بافت‌های نمدی نشان می‌دهند [۱۳، ۱۶]. دایک‌های گرانیتی و پگماتیتی گارنت و تورمالین دار که در نتیجه یک رخداد ماگمایی تاخیری همزمان با زمین ساخت کششی تشکیل شده‌اند، اغلب واحدهای دگرگونی را قطع کرده‌اند [۱۱، ۱۳].<sup>۶</sup> (شکل ۶).

در بخش شرقی مجموعه دگرگونی دهسلم، یک واحد عدسی شکل وجود دارد که از دیواره‌ی غربی به یک نوار باریک چند دهمتری از متابازیت‌ها محدود می‌شود و در بخش شمالی به طور عمده با متاپریدوتیت‌ها همراه است، در حالی که در بخش شرقی با عدسی‌هایی از مرمرها پایان می‌یابد. در میان این رخنمون، توده‌های عدسی شکل باریک وکشیده از متاپسامیت‌ها، سیلیکات آهکی و گرانیت‌ها گسترش دارند (شکل ۳).

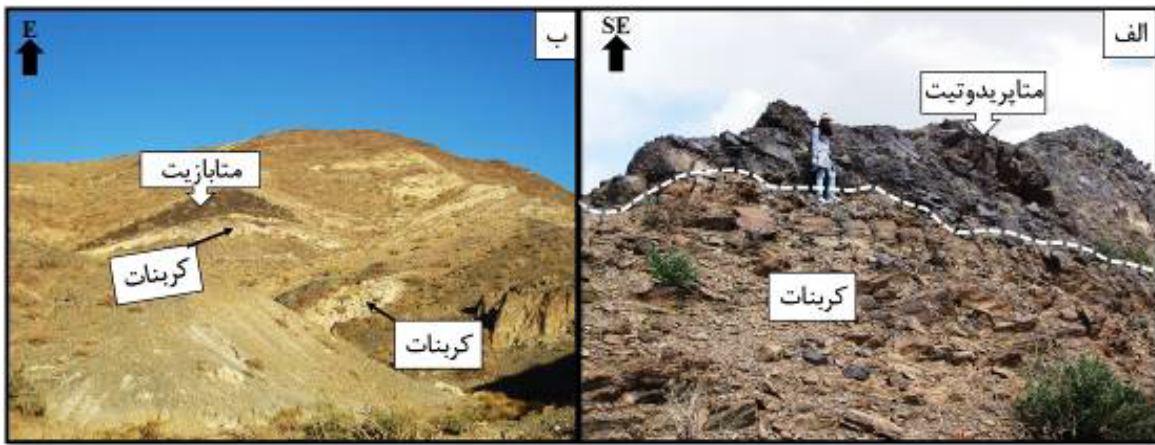
در بخش جنوبی این واحد عدسی شکل، مجموعه‌های فرامافیک چون سرپانتینیت‌ها و متاپریدوتیت‌های اسپینل دار نیز به صورت عدسی تا دایک و به صورت رانده شده بر مرمرها و در کنار متابازیت‌ها و سیلیکات‌های آهکی دربردارنده گارنت‌های درشت قرار دارند (شکل ۴).



شکل ۳ رخنمون مجموعه‌های مرمر، سیلیکات آهکی و متاپریدوتیت در جنوب گرانیت شاه‌کوه (دید عکس به سمت شمال).



شکل ۴ (الف) رخنمون عدسی متاپریدوتیتی هم مرز با سنگ‌های سیلیکاتی آهکی (مرز واحدهای متاپریدوتیت و واحدهای سیلیکات آهکی به صورت گسله است); (ب) سیلیکات‌های آهکی دربردارنده گارنت‌های دانه درشت در کنار متاپریدوتیت‌های شرق مجموعه دگرگونی دهسلم.



شکل ۵ الف) مرز گسله متاپریدوتیت و گربنات‌ها (دید عکس به سمت جنوب شرق؛ ب) توالی متابازیت‌ها و گربنات‌ها در شرق مجموعه دگرگونی دهسلم (دید عکس به سمت شرق).



شکل ۶ الف) میگماتیت‌های پسامیتی با بافت نمدی؛ ب) دایک‌های موجود در میگماتیت‌های نمدی موجود در شرق مجموعه دگرگونی دهسلم.

برخی نیز کوارتز به همراه مسکوویت (۵ درصد) حضور دارد. بافت غالب در مرمرهای بررسی شده دانه‌شکفتی است. سنگ مادر مرمرها به احتمال بسیار یک آهک با ناخالصی سیلیسی است (شکل ۸-الف).

#### سنگ‌شناسی سیلیکات‌های آهکی

کانی‌های سیلیکاتی اصلی موجود در سنگ‌های سیلیکاتی آهکی شامل اسکاپولیت، پلاژیوکلاز، فلدسپار پتاسیم، کلینوپیروکسن، لاستونیت، گارنیت و آمفیبول هستند. کلسیت و کوارتز به عنوان فازهای اصلی و تیتانیت، تورمالین و اپیدوت از جمله کانی‌های فرعی موجود در این سنگ‌ها هستند که در ادامه به مقدار و چگونگی توزیع کانی‌ها اشاره شده است. سیلیکاتی آهکی موجود در مجموعه دگرگونی دهسلم بر اساس همبازایی‌های موجود در آن‌ها به طور عمده در گروه سیلیکاتی آهکی اسکاپولیت‌دار و سیلیکات‌های آهکی بدون اسکاپولیت رده‌بندی می‌شوند:

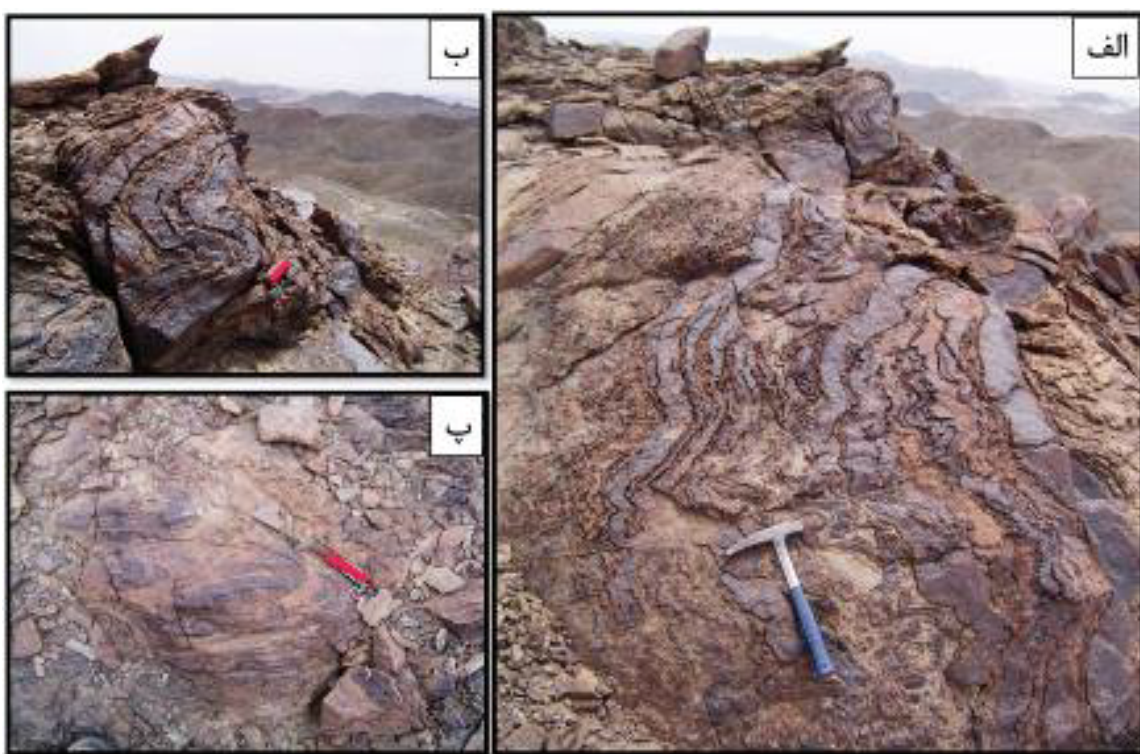
#### بحث و بررسی

#### سنگ‌شناسی

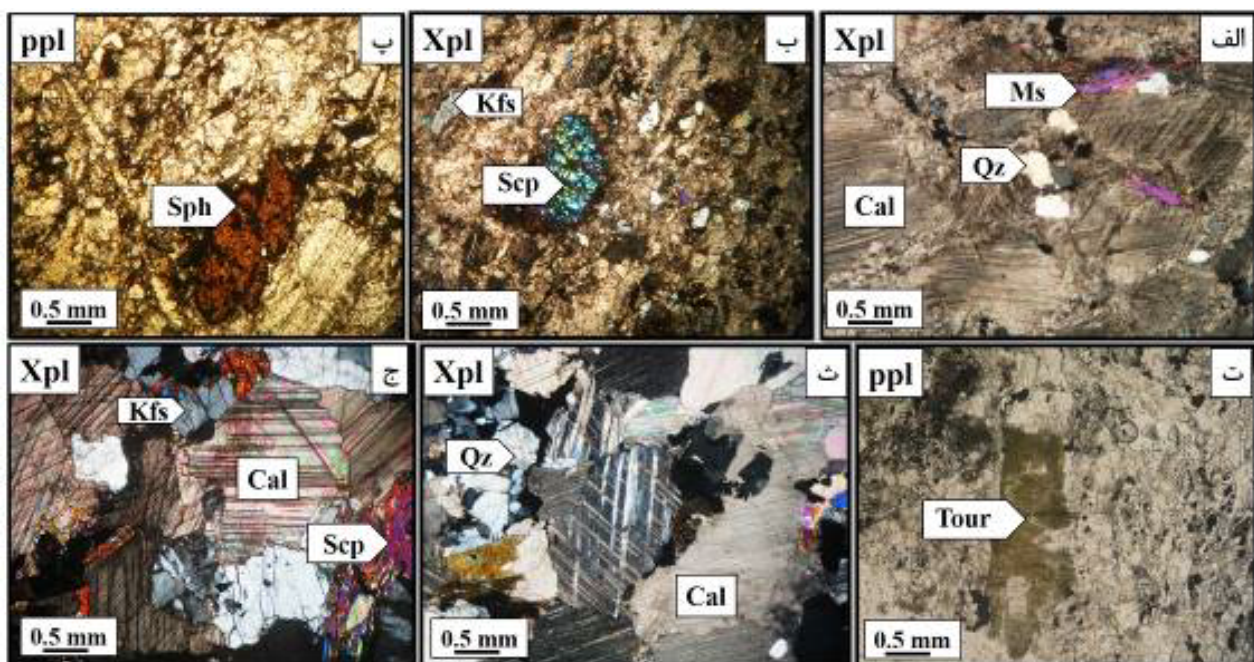
سنگ آهک‌های دگرگون‌شده در مجموعه دگرگونی دهسلم شامل مرمرها و سنگ‌های سیلیکاتی آهکی هستند. عملکرد رخدادهای متعدد دگرگشکی (شامل پنج فاز  $D_1$  تا  $D_5$ ) سبب شکل‌گیری ساختارهای پیچیده‌ای در این سنگ‌ها شده است که از آن جمله می‌توان به ظهرور چین‌های همشیب، چین‌های بسته مایل تا خوابیده و بودین در سیلیکات‌های آهکی مورد بررسی در اثر عملکرد فاز  $D_2$  اشاره نمود [۱۳] (شکل ۷). سطح محوری چین‌های ایجاد شده موادی تورق و با خطواره‌هایی با روند شمال غربی-جنوب شرقی (NW-SE) ظاهر شده است.

#### سنگ‌شناسی مرمرها

در مقاطع میکروسکوپی مرمرها، کانی کلسیت به عنوان کانی اصلی ۸۰ درصد از حجم سنگ را تشکیل می‌دهد. در برخی از نمونه‌های بررسی شده، کانی کوارتز (۱۰ تا ۱۵ درصد) و در



شکل ۷ الف و ب) چین‌های بسته مایل تا خوابیده همراه با ریز چین‌های پارازیتی موجود در آن‌ها؛ پ) چین هم‌شیب موجود در سیلیکات‌های آهکی مجموعه دگرگونی دهسلم.



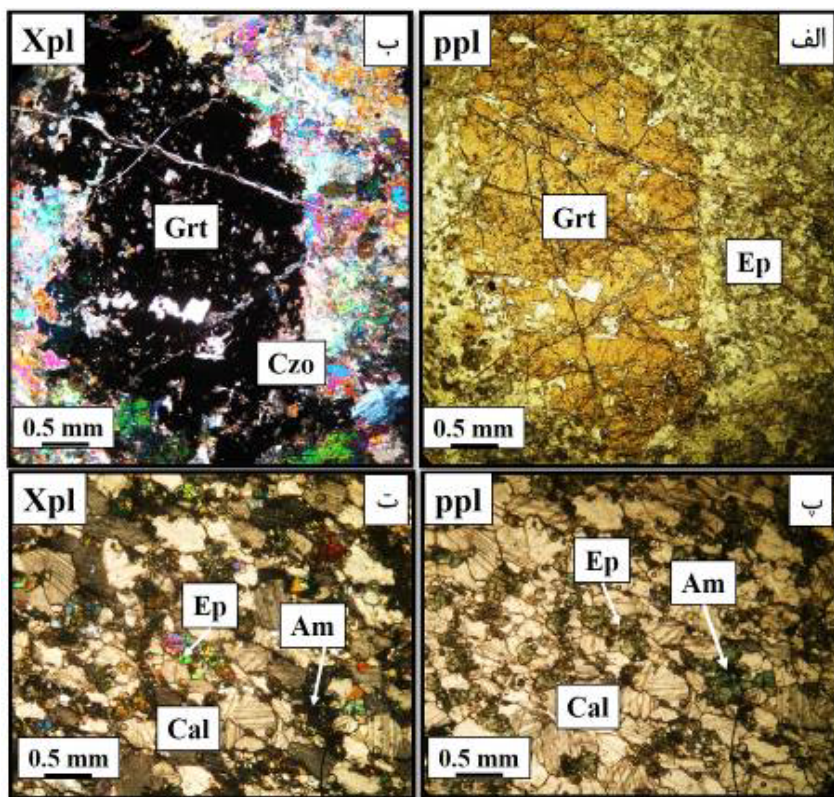
شکل ۸ تصاویر میکروسکوپی از الف) کانی‌های کوارتز، کلسیت و موسکوویت در مرمرهای موجود در مجموعه دگرگونی دهسلم، ب) کانی‌های کلسیت، اسکاپولیت و فلدسپار پتاسیم در سیلیکات‌های آهکی مورد بررسی در مجموعه دگرگونی دهسلم؛ پ) اسفن موجود در سیلیکات‌های آهکی مورد بررسی، ج) تورمالین در سیلیکات‌های آهکی مورد بررسی؛ ث) ماکل‌های لغشی در کانی کلسیت در سیلیکات‌های آهکی مورد بررسی، ج) بافت دانه شکفتی در سیلیکات‌های آهکی مورد بررسی در مجموعه دگرگونی دهسلم؛ (تصاویر الف، ب، ث و ج در نور قطبیده متقاطع با بزرگنمایی ۴۰ برابر و تصاویر پ و ت در نور قطبیده طبیعی با بزرگنمایی ۱۰۰ برابر تهیه شده‌اند نشانه‌های اختصاری کانی‌ها برگرفته از مرجع [۲۷] است).

و ماکلهای لغزشی ناشی از عملکرد فازهای دگرشکلی شکنا در بلورهای کلسیت قابل تشخیص است (شکل ۸ج).

**سیلیکات‌های آهکی بدون اسکاپولیت:** بیشترین تمرکز واحدهای سیلیکات آهکی بدون اسکاپولیت در بخش جنوبی مجموعه دگرگونی دهسلم قرار دارد. توصیف سنگ‌شناسی این واحدها به شرح زیر است:

**سیلیکات‌های آهکی دارای آمفیبول و گارنت:** بررسی میکروسکوپی این سنگ‌ها بیانگر حضور کانی‌های آمفیبول (۲۰ درصد)، گارنت (۲۵ درصد)، اپیدوت (۱۰ درصد)، کلینوزوئیزیت (۵ درصد)، کوارتز (۵ درصد) و کلسیت (۳۵ درصد) است. آمفیبول با رنگ‌های تداخلی زرد و نارنجی در نور قطبی و چند رنگی سبز در نور طبیعی حضور دارد. گارنت موجود در این سنگ به دلیل حضور ناخالصی آهن به رنگ زرد در نور طبیعی دیده می‌شود. اپیدوت با رنگ‌های تداخلی سبز، صورتی و آبی و با رنگ طبیعی سبز مایل به زرد دیده می‌گردد. کلسیت با ماکلهای لغزشی و کانی کوارتز با خاموشی موجی دیده می‌شود. بافت سنگ به صورت میلیونیتی است (شکل ۹).

**سیلیکات‌های آهکی اسکاپولیت‌دار:** بررسی میکروسکوپی این سنگ‌ها بیانگر حضور کانی‌های اسکاپولیت (۵۰ درصد)، ارتوز (۱۵ درصد)، پلازیوکلаз (۱۰ درصد)، کوارتز (۵ درصد)، تیتانیت (۵ درصد) و تورمالین است. کانی اسکاپولیت با رنگ‌های تداخلی آبی، نارنجی و بنفش به صورت بی‌شک تا نیمه شکل‌دار و برجستگی متوسط قابل تشخیص است (شکل ۸ب). کانی تیتانیت با رنگ قهوه‌ای در نور معمولی، برجستگی بالا و به صورت گوهای شکل دیده می‌شود (شکل ۸پ). کانی تورمالین به صورت کشیده با رنگ‌های تداخلی آبی و صورتی در نور قطبی و با رنگ سبز در نور طبیعی دیده می‌شود (شکل ۸ت). تورمالین و اسفن کانی‌های فرعی سنگ محسوب می‌شوند. در اثر رخدادهای دگرشکلی جوانتر با ماهیت خمیری، سنگ‌ها طی میلیونیتی شدن بلورهای کلسیت دچار بازتابلور دینامیکی و کشیده تا نواری شده‌اند و یا به شکل بلورها و عدسی‌های کم دگرشکل در یک خمیره با تورق میلیونیتی ظاهر شده‌اند (شکل ۸ث). در برخی از نمونه‌های مورد بررسی، در بخش‌های کمتر دگرشکل شده نیز بافت دانه شکفتی تا میلیونیتی دیده می‌شود



شکل ۹ تصاویر میکروسکوپی از الف و ب) کانی‌های گارنت، اپیدوت و کلینوزوئیزیت، پ و ت) کانی‌های کلسیت، آمفیبول و اپیدوت در سیلیکات‌های آهکی مورد بررسی در مجموعه دگرگونی دهسلم (تصاویر الف و پ در نور قطبیده طبیعی و تصاویر ب و ت در نور قطبیده متقطع و با بزرگنمایی ۴۰ برابر تهیه شده‌اند).

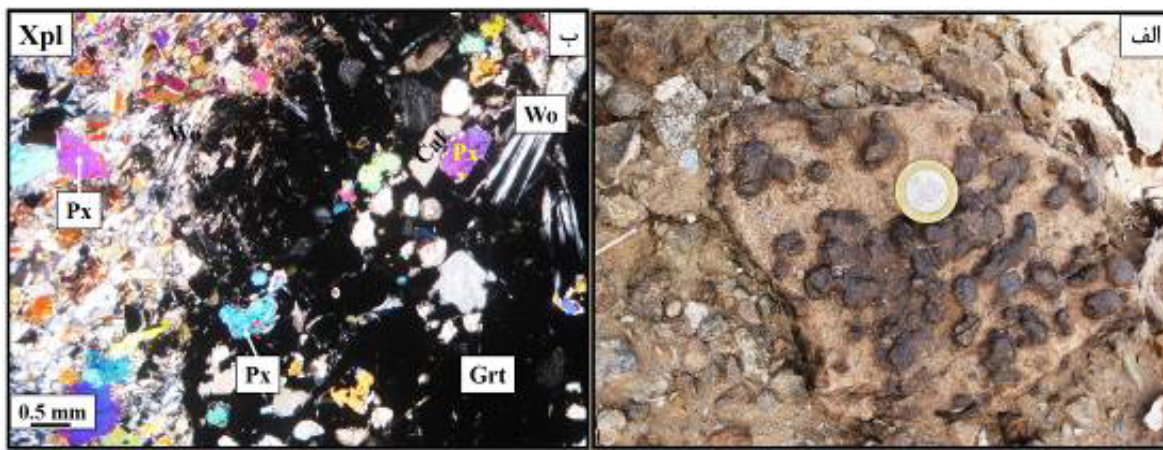
محلول جامد دو عضو نهایی ماریالیت و میونین است. در حال حاضر، درصد میونین موجود به عنوان شاخص اصلی در ترکیب شیمیایی اسکاپولیت به حساب می‌آید ( $\text{Me\%} = 100 \frac{\text{Ca}}{\text{Ca} + \text{Na}}$ ). اگر  $80 - \text{Me\%} = 60$  –  $100 - \text{Me\%} = 90$ ، اسکاپولیت دارای ترکیب میزونیت بوده و اگر  $100 - \text{Me\%} = 90$ ، اسکاپولیت دارای ترکیب میونینت است. به منظور تعیین ترکیب شیمیایی اسکاپولیت‌های موجود در سیلیکاتی آهکی مورد بررسی، تعدادی از این کانی‌ها تجزیه شیمیایی شدند.

نتایج تجزیه شیمیایی و محاسبه فرمول ساختاری اسکاپولیت براساس ۲۵ اتم اکسیژن در جدول ۱ آورده شده است. نتایج تجزیه شیمیایی سیلیکات‌های آهکی نشان می‌دهد که اسکاپولیت‌های مورد بررسی در گروه اسکاپولیت‌های کلسیمی جای دارند. بر اساس مقادیر  $\text{Me\%}$  محاسبه شده برای اسکاپولیت‌های مورد بررسی ( $\text{Me\%} = 70 - 80$ ) و موقعیت آن‌ها در نمودار  $\text{Eq}_{\text{Aln}}$  نسبت به  $\text{X}_{\text{Cl}}$ ، ترکیب شیمیایی آنها در گستره میزونیت قرار دارد (شکل ۱۱). با توجه به مقادیر پایین  $\text{Cl}$  در ترکیب اسکاپولیت‌های مورد بررسی، به نظر می‌رسد که جایگاه A در این اسکاپولیت‌ها توسط  $\text{CO}_3^{2-}$  پر شده است. در اسکاپولیت‌های با  $\text{Ca/Ca} + \text{Na} > 0.75$ ، جایگاه A اغلب توسط  $\text{CO}_3^{2-}$  اشغال جانشین می‌گردد [۲۹]. فرمول ساختاری اسکاپولیت به صورت  $\text{Ca}_3\text{Na}_{0.87}[\text{Al}_{4.5}\text{Si}_7\text{O}_{25}](\text{CO}_3)$  است.

**سیلیکات آهکی گارنت – ولاستونیت:** در نمونه دستی این سنگ‌ها که اغلب به رنگ کرم تا قهوه‌ای روشن است، گارنت‌های بسیار درشت (۴ سانتیمتر) دیده می‌شود (شکل ۱۰ الف). در مقطع میکروسکوپی، کانی‌های گارنت ۲۵ درصد، ولاستونیت ۲۰ (درصد)، پیروکسن ۱۰ (درصد)، اسفن ۵ (درصد) و کلسیت ۴۰ (درصد) دیده می‌شود. کانی گارنت به صورت درشت بلورهای (۴-۵ میلیمتر) دربردارنده میانبارهایی از پیروکسن، کلسیت، کوارتز و ولاستونیت است. ولاستونیت با دوشکستی خاکستری و به صورت رشته‌ای دیده می‌شود. کانی اسفن به صورت لوزی شکل و به رنگ زرد تا قهوه‌ای در زمینه سنگ دیده می‌شود. کانی‌های موجود در سنگ بدون هرگونه جهت یافته‌گی ویژه‌ای هستند و سنگ دارای بافت برشی است (شکل ۱۰ ب).

#### شیمی کانی‌ها

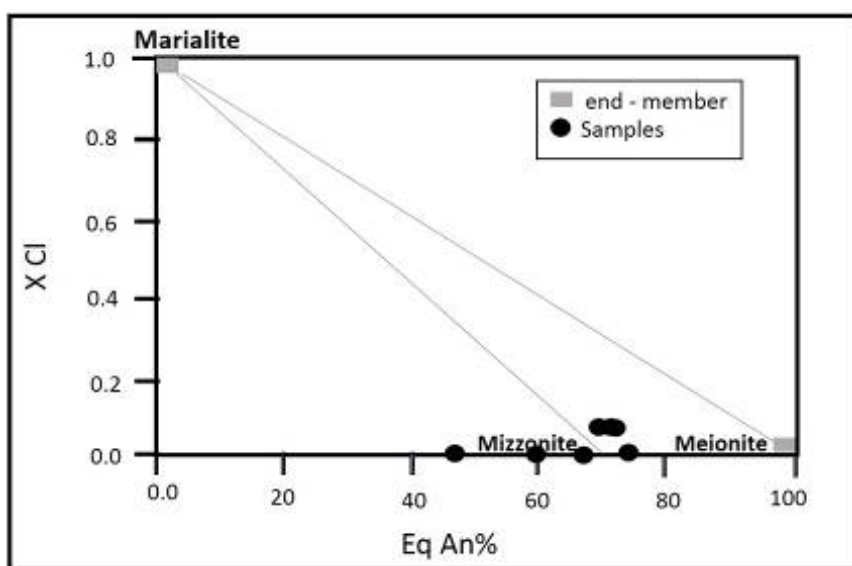
شیمی کانی اسکاپولیت در سیلیکات‌های آهکی اسکاپولیت‌دار اسکاپولیت: اسکاپولیت یک کانی آلومینوسیلیکاتی رایج است که در طیف گسترده‌ای از سنگ‌های آذرین و دگرگونی یافت می‌شود. این کانی با فرمول عمومی  $\text{M}_4[\text{T}_{12}\text{O}_{24}] \text{A}$  شناخته می‌شود که جایگاه M توسط باریم، استرانسیوم، کلسیم، سدیم، پتاسیم و آهن دو ظرفیتی، T با عنصری چون آلمینیم، سیلیسیم و آهن سه ظرفیتی و جایگاه A توسط سولفات، کربنات، کلر و یا کمی بر اشغال می‌شود [۲۷]. اسکاپولیت



شکل ۱۰ الف) درشت بلورهای گارنت موجود در نمونه دستی و ب) تصویر میکروسکوپی کانی‌های گارنت، ولاستونیت، پیروکسن، کلسیت و کوارتز در سیلیکات‌های آهکی مورد بررسی در مجموعه دگرگونی دهسلم (تصویر میکروسکوپی در نور قطبیده متقطع و با بزرگنمایی ۴۰ برابر تهیه شده است).

جدول ۱ نتایج تجزیه اسکاپولیت‌های موجود در سیلیکات‌های آهکی مورد بررسی در شرق مجموعه دگرگونی دهسلم (بر حسب درصد وزنی).

نام کانی	اسکاپولیت						
شماره نمونه	۲۰	۲۱	۲۲	۲۳	۲۴	۲۵	۲۶
SiO <sub>2</sub>	۴۶,۶۰	۴۶,۲۱	۴۹,۰۷	۴۶,۱۸	۵۰,۱۲	۴۷,۴۶	۴۹,۰۰
TiO <sub>2</sub>	۰,۰۰	۰,۰۰	۰,۰۲	۰,۰۲	۰,۰۰	۰,۰۰	۰,۰۱
Al <sub>2</sub> O <sub>3</sub>	۲۸,۵۳	۲۸,۱۵	۲۷,۸۴	۲۹,۵۵	۲۸,۰۶	۲۸,۷۸	۲۸,۱۹
FeO	۰,۰۰	۰,۱۰	۰,۰۸	۰,۰۶	۰,۰۴	۰,۰۲	۰,۰۲
MnO	۰,۰۰	۰,۰۴	۰,۰۰	۰,۰۰	۰,۰۲	۰,۰۴	۰,۰۰
MgO	۰,۰۴	۰,۰۱	۰,۰۱	۰,۰۴	۰,۰۲	۰,۰۱	۰,۰۰
CaO	۱۸,۷۹	۱۸,۵۸	۱۶,۴۳	۲۰,۱۹	۱۶,۶۲	۱۸,۶۵	۱۷,۰۱
Na <sub>2</sub> O	۲,۷۴	۲,۷۷	۳,۳۷	۲,۶۱	۳,۸۴	۲,۹۹	۳,۱۷
K <sub>2</sub> O	۰,۱۲	۰,۰۹	۰,۳۵	۰,۱۰	۰,۵۶	۰,۱۰	۰,۴۵
F	۰,۲۴	۰,۱۹	۰,۰۰	۰,۰۰	۰,۲۵	۰,۰۰	۰,۱۷
Cl	۰,۰۹	۰,۰۷	۰,۵۱	۰,۰۴	۰,۷۲	۰,۰۶	۰,۴۵
مجموع	۹۷,۱۵	۹۶,۲۱	۹۷,۶۸	۹۸,۷۹	۱۰۰,۲۶	۹۸,۱۱	۹۸,۴۷
اسکسین	۲۵	۲۵	۲۵	۲۵	۲۵	۲۵	۲۵
Si	۶,۹۵	۶,۹۷	۷,۲۴	۶,۸۳	۷,۲۰	۷,۰۲	۷,۱۷
Al	۵,۰۲	۵,۰۰	۴,۸۴	۵,۱۵	۴,۷۵	۵,۰۲	۴,۸۶
Ti	۰,۰۰	۰,۰۰	۰,۰۰	۰,۰۰	۰,۰۰	۰,۰۰	۰,۰۰
Fe	۰,۰۰	۰,۰۱	۰,۰۱	۰,۰۰	۰,۰۰	۰,۰۰	۰,۰۰
Mn	۰,۰۰	۰,۰۰	۰,۰۰	۰,۰۰	۰,۰۰	۰,۰۰	۰,۰۰
Mg	۰,۰۰	۰,۰۰	۰,۰۰	۰,۰۰	۰,۰۰	۰,۰۰	۰,۰۰
Ca	۳,۰۰	۳,۰۰	۲,۵۹	۳,۱۹	۲,۵۶	۲,۹۵	۲,۶۶
Na	۰,۷۹	۰,۸۱	۰,۹۶	۰,۷۴	۱,۰۷	۰,۸۵	۰,۹۰
K	۰,۰۲	۰,۰۱	۰,۰۶	۰,۰۱	۰,۱۰	۰,۰۱	۰,۰۸
F	۰,۱۱	۰,۰۹	۰,۰۰	۰,۰۰	۰,۱۱	۰,۰۰	۰,۰۷
Cl	۰,۰۲	۰,۰۱	۰,۱۲	۰,۰۱	۰,۱۷	۰,۰۱	۰,۱۱
مجموع	۱۵,۹۴	۱۵,۹۳	۱۵,۸۵	۱۵,۹۷	۱۶,۰۰	۱۵,۹۰	۱۵,۸۸
Me%	۷۹,۱۲	۷۸,۰۶	۷۳,۰۰	۸۱,۰۴	۷۰,۵۲	۷۷,۵۱	۷۴,۷۸



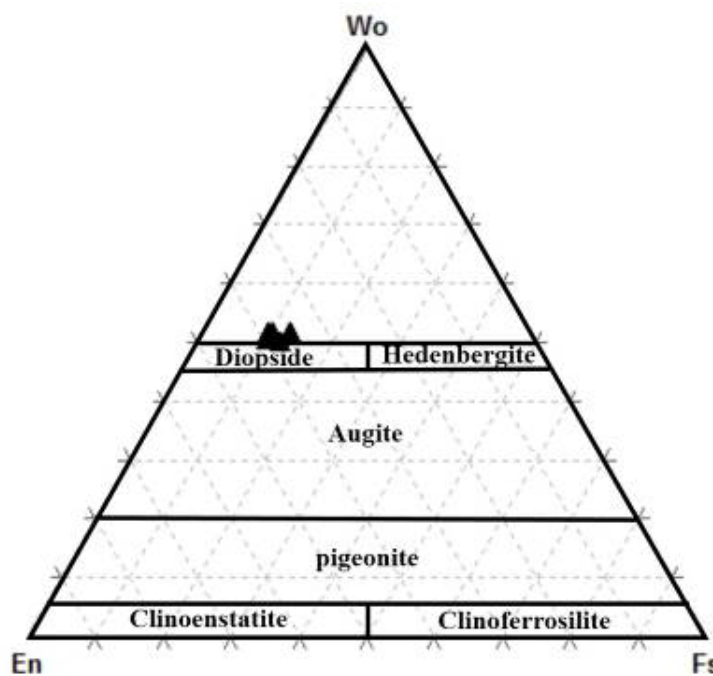
شکل ۱۱ در نمودار Eq An/% نسبت به X Cl و موقعیت اسکاپولیت‌های مورد بررسی با ترکیب میزونیت آن.

گارنت: براساس نتایج تجزیه گارنتهای موجود در سیلیکات-های آهکی مورد بررسی که در جدول ۲ آورده شده است، این گارنتها غنی از عضو نهایی گراسولار هستند و در گستره گراسولار - آندرادیت قرار دارند (شکل ۱۳). ترکیب کلی گارنت در سیلیکات‌های آهکی بررسی شده در مجموعه دهسلم به صورت  $Grs_{91.63}Alm_{3.67}Sps_{0.02}Prp_{0.4}$  و فرمول ساختاری  $(Ca_{2.95}Fe_{0.09}Al_{1.80})(Fe_{0.1})Si_{2.95}O_{12}$  است.

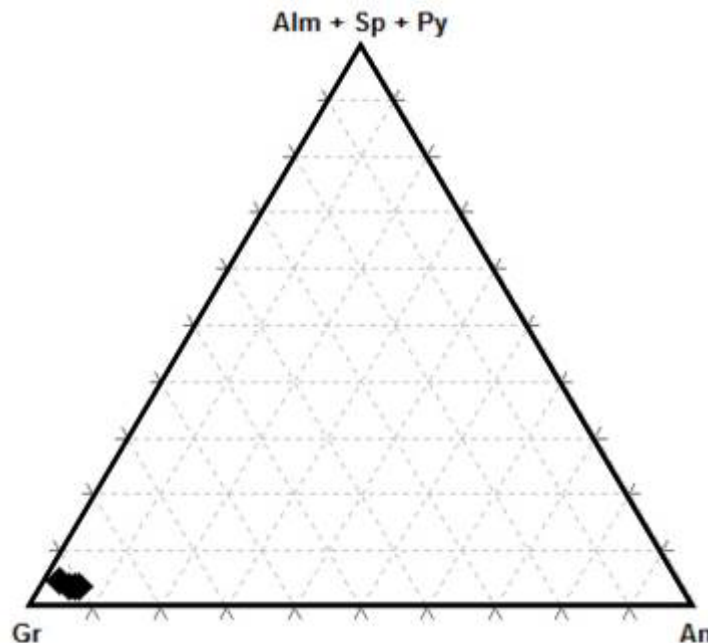
شیمی کانی های موجود در سیلیکات های آهکی دارای گارنت و لاآسونیت کلینوپیروکسن: براساس نتایج تجزیه شیمیایی (جدول ۲)، کلینوپیروکسن های موجود در سیلیکات های آهکی مورد بررسی در مجموعه دگرگونی دهسلم غنی از کلسیم هستند و در گستره دیوپسید قرار دارند (شکل ۱۲). مقدار  $\text{SiO}_2$  در کلینوپیروکسن از ۵۲ تا ۵۵ درصد متغیر است. مقدار  $\text{Cr}_2\text{O}_3$  کلینوپیروکسن ناچیز است (۰/۰۶-۰/۴ درصد وزنی). همچنین مقدار منیزیم حدود ۷۵-۰٪ درصد وزنی است (جدول ۲). فرمول ساختاری دیوپسید به صورت

جدول ۲ نتایج تجزیه کلینوپیروسن، والستونیت، گارنت و اسفن‌های موجود در سیلیکات‌های آهکی مورد بررسی در شرق مجموعه دگرگونی دهسلم (تفکیک مقدار  $\text{Fe}^{2+}$  و  $\text{Fe}^{3+}$  کانی‌ها بر پایه محاسبات عنصرسنجی انجام شده است).

نام کانی	پیروکسن	پیروکسن	ولاستونیت	ولاستونیت	گارنت	گارنت	گارنت	اسfen	اسfen
شماره نمونه	۹	۱۱	۱۲	۱۳	۲	۱۵	۱۶	۱۱	۱۲
SiO <sub>2</sub>	۵۲,۶۵	۵۳,۲۸	۵۱,۸۲	۵۱,۶۲	۳۸,۷۵	۳۸,۲۶	۳۸,۸۳	۳۱,۱۴	۳۱,۶۱
TiO <sub>2</sub>	۰,۰۰	۰,۰۱	۰,۰۲	۰,۰۰	۱,۲۰	۱,۲۱	۱,۱۹	۳۶,۲۷	۳۴,۷۰
Al <sub>2</sub> O <sub>3</sub>	۰,۴۷	۰,۳۲	۰,۰۰	۰,۰۱	۲۰,۱۵	۲۰,۳۸	۲۰,۰۷	۳,۱۱	۴,۱۱
Cr <sub>2</sub> O <sub>۳</sub>	۰,۰۶	۰,۰۴	۰,۰۰	۰,۰۰	۰,۰۲	۰,۰۰	۰,۰۲	۰,۱۴	۰,۱۶
FeO	۷,۳۰	۷,۱۸	۰,۱۹	۰,۱۴	۲,۱۶	۲,۹۲	۳,۰۱	۰,۰۰	۰,۰۰
MnO	۰,۱۹	۰,۶۷	۰,۰۷	۰,۰۲	۰,۰۸	۰,۰۰	۰,۰۸	۰,۰۳	۰,۰۲
MgO	۱۳,۵۵	۱۳,۶۱	۰,۰۳	۰,۰۳	۰,۰۹	۰,۱۰	۰,۱۱	۰,۰۰	۰,۰۱
CaO	۲۴,۸۵	۲۴,۶۶	۴۸,۲۰	۴۷,۴۷	۳۵,۶۳	۳۵,۷۲	۳۵,۶۱	۲۹,۴۵	۲۹,۷۱
Na <sub>2</sub> O	۰,۱۷	۰,۱۱	۰,۰۳	۰,۰۲	-	-	-	۰,۰۰	۰,۰۱
K <sub>2</sub> O	۰,۰۰	۰,۰۰	۰,۰۰	۰,۰۳	-	-	-	۰,۰۰	۰,۰۰
مجموع	۹۹,۲۵	۹۹,۸۹	۱۰۰,۳۵	۹۹,۳۳	۹۹,۰۸	۹۹,۶۰	۹۸,۹۲	۱۰۰,۱۵	۱۰۰,۳۲
اکسیژن	۶	۶	۳	۳	۱۲	۱۲	۱۲	۵	۵
Si	۱,۹۷	۱,۹۸	۰,۹۹	۱,۰۰	۲,۹۶	۲,۹۹	۲,۹۷	۱,۰۱	۱,۰۲
Al	۰,۰۰	۰,۰۰	۰,۰۰	۰,۰۰	۱,۸۱	۱,۸۲	۱,۸۱	۰,۱۱	۰,۱۵
Ti	۰,۰۲	۰,۰۱	۰,۰۰	۰,۰۰	۰,۰۶	۰,۰۶	۰,۰۶	۰,۸۸	۰,۸۴
Fe <sup>۳+</sup>	۰,۰۴	۰,۰۱	۰,۰۰	۰,۰۰	۰,۱۰	۰,۰۵	۰,۰۹	۰,۰۰	۰,۰۰
Fe <sup>۲+</sup>	۰,۱۸	۰,۲۰	۰,۰۰	۰,۰۰	۰,۰۹	۰,۱۳	۰,۱۰	۰,۰۰	۰,۰۰
Mn	۰,۰۰	۰,۰۲	۰,۰۰	۰,۰۰	۰,۰۰	۰,۰۰	۰,۰۰	۰,۰۰	۰,۰۰
Mg	۰,۷۵	۰,۷۵	۰,۰۰	۰,۰۰	۰,۰۱	۰,۰۱	۰,۰۱	۰,۰۰	۰,۰۰
Ca	۰,۹۹	۰,۹۸	۰,۹۹	۰,۹۸	۲,۹۲	۲,۹۱	۲,۹۲	۱,۰۲	۱,۰۲
Na	۰,۰۱	۰,۰۰	۰,۰۰	۰,۰۰	-	-	-	۰,۰۰	۰,۰۰
K	۰,۰۰	۰,۰۰	۰,۰۰	۰,۰۰	-	-	-	۰,۰۰	۰,۰۰
مجموع	۴,۰۰	۴,۰۰	۲,۰۰	۱,۹۹	۸,۰۰	۸,۰۰	۸,۰۰	۳,۰۴	۳,۰۵
Mg/(Mg + Al)	۰,۸۰	۰,۷۸	-	-	۰,۱۰	۰,۰۷	۰,۱۱	-	-
Al/(Al + K)	۰,۳۲	۰,۴۴	-	-	۰,۹۴	۰,۹۷	۰,۹۵	-	-
دیوپیپید	دیوپیپید	دیوپیپید	-	-	-	-	-	-	-
الماندین	-	-	-	-	۳,۲	۴,۴	۳,۳	-	-
اسپیسارتین	-	-	-	-	۰,۲	۰,۰	۰,۲	-	-
پیروب	-	-	-	-	۰,۴	۰,۴	۰,۴	-	-
گرگوسولار	-	-	-	-	۹۰,۹	۹۲,۶	۹۱,۴	-	-
اندرادیت	-	-	-	-	۵,۳	۲,۶	۴,۶	-	-
یوواروویت	-	-	-	-	۰,۱	۰,۰	۰,۱	-	-



شکل ۱۲ نمودار Wo-En-Fs [۳۱] و موقعیت ترکیبی کلینوپیروکسن‌های موجود در سیلیکات‌های آهکی مورد بررسی در مجموعه دگرگونی ۵۵- سلم بر آن.



شکل ۱۳ نمودار Alm + Sp + Py - An - Gr (آلمندن: Alm، پیرپ: Sp، اسپسارتین: Py، گراسولار: Gr) و موقعیت گارنت‌های موجود در سیلیکات‌های آهکی مورد بررسی در مجموعه دگرگونی دهسلم در آن.

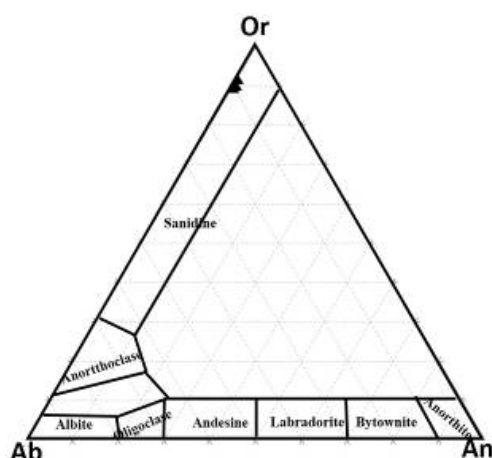
مقدار  $\text{SiO}_2$  تا ۵۲ درصد وزنی متغیر است (جدول ۲). فرمول ساختاری ولاستونیت به صورت  $\text{Ca}_{1.98}\text{Si}_2\text{O}_6$  است. اسفن (تیتانیت): اسفن‌های تجزیه شده در سیلیکات‌های آهکی مورد بررسی ترکیب شیمیایی یکنواختی نشان می‌دهند. نتایج تجزیه نقطه‌ای اسفن در جدول ۲ آورده شده‌است. فرمول

ولاستونیت: کانی ولاستونیت در سیلیکات‌های آهکی بدون اسکاپولیت در مجموعه دگرگونی دهسلم وجود دارد. براساس نتایج تجزیه شیمیایی انجام شده، مقدار  $\text{CaO}$  موجود در ولاستونیت‌ها در مقایسه با مقادیر سایر اکسیدها چون  $\text{FeO}$  و  $\text{MgO}$  بسیار بالاست (بیش از ۴۷ درصد وزنی) (جدول ۲).

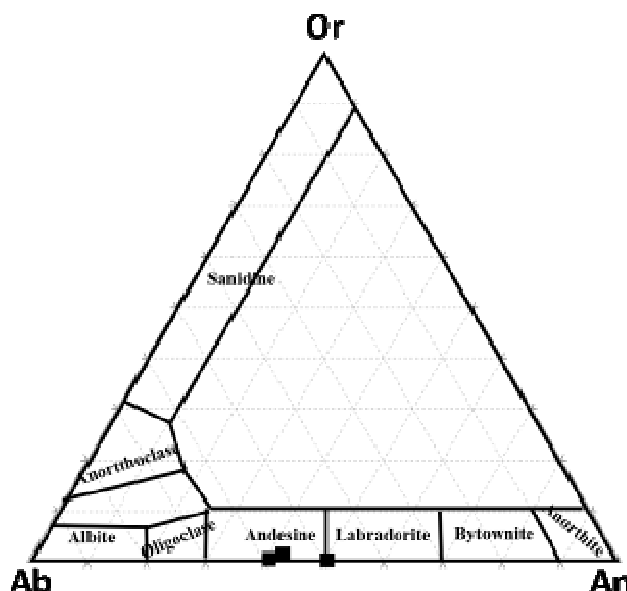
An نزدیک به قطب Or قرار دارند (شکل ۱۴). فرمول ساختاری ارتوز به صورت  $(K_{0.60} Na_{0.06}) Al_{1.01} Si_3 O_8$  است. پلازیوکلاز: فلدسپارهای سدیم و کلسیم‌دار به قطب پلازیوکلازهای حدوداً نزدیک بوده و دارای ترکیب آندزین هستند (شکل ۱۵). نتایج تجزیه فلدسپارها و ترکیب شیمیایی آن‌ها بر پایه ۸ اتم اکسیژن در جدول ۳ آورده شده‌است. فرمول ساختاری پلازیوکلاز به صورت  $(Na_{0.64} Ca_{0.39}) Al_{1.42} Si_{2.59} O_8$  است.

ساختری اسفن بر اساس ۵ اتم اکسیژن محاسبه شده‌است. مقدار  $Al_2O_3$  موجود در ترکیب اسفن‌های تجزیه شده بین ۲ تا ۴ درصد متغیر است. هم‌مان با افزایش مقدار Al، مقدار Ti روند کاهشی نشان می‌دهد که بیانگر جایگزینی Al به جای Ti است (جدول ۲). فرمول ساختاری اسفن (تیتانیت) به صورت  $Ca_{1.01} Ti_{0.89} SiO_5$  است.

شیمی کانی‌های فلدسپار همزیست با اسکاپولیت فلدسپار پتاسیم: فلدسپارهای پتاسیم‌دار تجزیه شده در سیلیکات‌های آهکی مورد بررسی در نمودار سه‌تایی Ab-Or-An.



شکل ۱۴ نمودار Ab-Or-An [۲۹] و موقعیت فلدسپارهای پتاسیم موجود در سیلیکات‌های آهکی مورد بررسی در شرق مجموعه دگرگونی ده‌سلم در آن.



شکل ۱۵ نمودار Ab-Or-An [۲۹] و موقعیت پلازیوکلازهای موجود در سیلیکات‌های آهکی مورد بررسی در شرق مجموعه دگرگونی ده‌سلم در آن.

جدول ۳ نتایج تجزیه فلزسپارهای موجود در سیلیکات‌های آهکی مورد بررسی در شرق مجموعه دگرگونی دهسلم.

نام کانی	ارتوز	ارتوز	ارتوز	پلازیوکلاز	پلازیوکلاز	پلازیوکلاز
شماره نمونه	۹	۱۰	۳۲	۴۲	۳۸	۱۸
SiO <sub>2</sub>	۹۸,۶۷	۰,۴۶۹	۶۹,۲۳	۶۰,۷۸	۰,۲۵۵	۵۷,۳۲
TiO <sub>2</sub>	۰,۰	۰,۳۰	۰,۰	۰,۰	۰,۰	۰,۲۰
Al <sub>2</sub> O <sub>3</sub>	۱۸,۱۹	۸۴,۱۹	۱۹,۳۴	۲۶,۰۲	۳۱,۲۹	۲۷,۷۰
FeO	۰,۳۰	۰,۸۰	۰,۰	۰,۲۰	۰,۰	۰,۴۰
MnO	۰,۱۰	۰,۰	۰,۵۰	۰,۰	۰,۰	۰,۰
MgO	۰,۰	۰,۰	۰,۰	۰,۰	۰,۱۰	۰,۰
CaO	۰,۸۰	۰,۶۰	۰,۴۰	۷,۳۲	۸۹,۱۰	۹,۰۷
Na <sub>2</sub> O	۷۵,۰	۹۰,۰	۰,۶۶	۵,۴۱	۹۱,۵	۷,۱۰
K <sub>2</sub> O	۶۷,۱۰	۷۸,۱۱	۱۱,۹۱	۰,۲۲	۰,۸۰	۱۰,۰
مجموع	۶۹,۹۸	۷۳,۱۰۱	۱۰۰,۵۱	۹۹,۷۷	۲۵,۱۰۱	۱۰۱,۲۹
اکسیژن	۸	۸	۸	۸	۸	۸
Si	۰,۶۴,۳	۰,۳۹,۳	۰,۷,۳	۶۹,۲	۴۵,۲	۵۴,۲
Al	۰,۱۹,۱	۰,۲۹,۱	۰,۰,۱	۳۵,۱	۵۴,۱	۴۵,۱
Ti	۰,۰	۰,۰	۰,۰	۰,۰	۰,۰	۰,۰
Fe	۰,۰	۰,۰	۰,۰	۰,۰	۰,۰	۰,۰
Mn	۰,۰	۰,۰	۰,۲,۰	۰,۰	۰,۰	۰,۰
Mg	۰,۰	۰,۰	۰,۰	۰,۰	۰,۰	۰,۰
Ca	۰,۰	۰,۰	۰,۰	۳۵,۰	۵۲,۰	۰,۴۳
Na	۰,۶۰	۰,۷,۰	۰,۵,۰	۰,۰	۵۱,۰	۶۱,۰
K	۶۱,۰	۶۶,۰	۶۳,۰	۰,۱,۰	۰,۰	۰,۰
مجموع	۴,۸۰	۸۱,۴	۴,۸۰	۴,۸۷	۰,۳۵	۰,۴۵
Or	۸۵,۸۹	۲۸,۱۹	۹۱,۴۹	۱,۵۱	۴۵,۰	۰,۵۴
Ab	۵۵,۹	۳۱,۱۰	۸,۲۳	۵۶,۳۵	۳۴,۴۹	۵۸,۴۶
An	۵۹,۰	۴۰,۰	۰,۲۸	۴۲,۱۳	۲۰,۵۰	۴۰,۱۰

می‌تواند به عنوان یک دماسنجد به کار رود در مجموعه اسکاپولیت - پلازیوکلاز و در صورت مشخص بودن مقدار CO<sub>2</sub> و PCO<sub>2</sub> از تبادلهای یون‌های Ca و Na به عنوان دماسنجد استفاده می‌شود [۳۳]. اسکاپولیتهای غنی از عضو نهایی ماریالیت در دمای بالا و طی فرآیند دگرگونی ایجاد می‌شوند، در حالی که اسکاپولیتهای ناشی از دگرگونی‌های درجه بالای سنگ‌های سیلیکاتی آهکی و گنیس‌های مافیک اغلب دارای ترکیب سولفات میونیت، میونیت و اسکاپولیتهای دربردارنده ۲۳ میونیت یا همان میزونیت هستند [۳۴]. تشکیل اسکاپولیتهای کلسیمی به دماهای بیش از ۷۵۰ درجه سانتی-گراد نسبت داده شده است [۳۴-۳۶]. میزونیت اغلب در دمای کمتر از ۷۵۰ درجه سانتی-گراد پایدار است [۳۳]. بررسی فازهای تعادلی در اسکاپولیتهای کلسیمی نشان می‌دهد که افزایش اختلال در مقادیر Si - Al با افزایش تغییرات فشار - دما با یک شبیه ملایم طی واکنش تشکیل اسکاپولیت مناسب

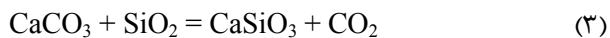
### بحث

سنگ‌های سیلیکاتی آهکی به همراه متابازیت‌ها، متاپیدوتویت-ها و متاپلیت‌ها در بخش شرقی مجموعه دهسلم رخنمون دارند. بر روی نقشه، بخش شرقی مجموعه دگرگونی دهسلم به عنوان مجموعه‌ای از کالکشیست، گارنت‌شیست و آمفیبول‌شیست توصیف شده است [۱۸]. بررسی‌های میکروسکوپی و دادهای زمین شیمیایی گروهی از سیلیکات‌های آهکی بیانگر حضور اسکاپولیت، پلازیوکلاز، ارتوز، اسفن و کلسیت هستند. اسکاپولیت (Ca<sub>4</sub>Al<sub>6</sub>Si<sub>6</sub>O<sub>24</sub>Co<sub>3</sub>) در اثر واکنش پلازیوکلاز (CaAl<sub>2</sub>Si<sub>2</sub>O<sub>8</sub>) و کلسیت (CaCO<sub>3</sub>) و یا سیال‌های CO<sub>2</sub> دار در سنگ‌های سیلیکاتی آهکی ایجاد می‌شود [۳۱-۳۳]:



این واکنش خشک تا حد بسیاری مستقل از فشار و ترکیب سیال است و اغلب توسط دما کنترل می‌شود و بنابراین

ناشی از فرآیند میگماتیت‌زایی در متاپلیت‌های کنار این سنگ‌ها نسبت دارد. حضور ولاستونیت در رخساره آمفیبولیت بالایی تا گرانولیت را می‌توان به بالا آمدگی سریع آنها در راستای یک مسیر کاهش فشار که با واکنش کربنات‌ها با سیال‌های غنی از آب همراه بوده است، نسبت دارد [۲]. واکنش تشکیل ولاستونیت ( $\text{CaSiO}_3$ ) در سیلیکات‌های آهکی بررسی شده در بخش جنوب شرقی مجموعه دگرگونی ده‌سلم به صورت زیر است:



گفتنی است که میگماتیت‌های کنار این سیلیکات‌های آهکی اغلب در بردارنده آندالوزیت‌های جایگزین شده با سیلیمانیت، ارتوز، پلازیوکلاز، گارنت و بیوتیت هستند. دماستجی‌های انجام شده بر این میگماتیت‌ها دمای ۶۷۰ تا ۷۵۰ درجه سانتی‌گراد را نشان می‌دهد [۱۳]. دماستجی کلریت‌های موجود در متاپریدوتیت‌ها بیانگر دماهای ۵۰۲ تا ۶۷۰ درجه سانتی‌گراد است [۱۴]. ارتباط اولیه کربنات و بازالت که در واحدهای مجموعه دگرگونی ده‌سلم به صورت مرزهای پیوسته قابل دیده است (شکل ۵ ب) در دو محیط زمین‌ساختی رسوبی قبل تصور است: فعالیت آتشفسنایی در محیط‌هایی که حوضه‌های کربناتی گسترش دارند، مانند کرانه جزایر قوسی و یا جزایر اقیانوسی، و نیز فعالیت بازالت‌ها هنگام فروبریزی یک زیرساخت کربناتی طی ریفت شدگی پوسته قاره‌ای. بنا بر این فرضیه به نظر می‌رسد که آمیخته‌های زمین‌ساختی موجود در مجموعه ده‌سلم در کرانه اقیانوس نئوتیس و هنگام فروزانش آن اقیانوس در زمان ژوراسیک به زیر قطعه لوت و آمیختگی سنگ‌هایی با خاستگاه اقیانوسی با نهشته‌های باقی مانده در کرانه ریفت شده لوت شکل گرفته باشد [۱۴]. این مجموعه سپس در شرایط زمین گرمایی پرشیب کمان ماقمایی نئوتیس در کرانه لوت واقع گردیده و براساس نتایج دما و فشارستجی در سنگ‌های متاپریدوت و متاپلیت، همراه با واحدهای کربنات دچار دگرگونی نوع دمای بالا - فشار پائین چون بوکان یا آبکوما گردیده است [۱۵-۱۷].

مسیر در نظر گرفته از دگرگونی پیشرونده در مجموعه دگرگونی ده‌سلم نشان می‌دهد که همزمان با افزایش دما، از متاپریدوت‌های موجود در غرب تا ظهور آندالوزیت در این واحد شیب زمین‌گرمایی در حال افزایش است و دمایی بین ۲۱ تا ۴۵ درجه سانتی‌گراد بر کیلومتر برآورد می‌شود (شکل ۱۶).

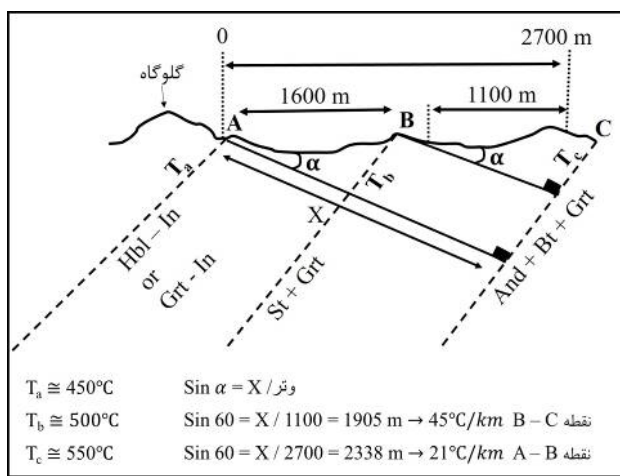
است. همچنین شیب تغییرات تعادلی کربنات‌زدایی از مشبت به منفی در جایگاه  $T-\text{X}_{\text{CO}_2}$  با اختلال در مقادیر  $\text{Al} - \text{Si}$  متناسب است [۳۲]. طی رخداد دگرگونی پیشرونده در سنگ‌های کربناتی براساس طبق واکنش زیر، میکاهای تخربی موجود در سنگ کربنات در حضور کلسیت و کوارتز در درجه‌های پایین دگرگونی به وسیله فلدسپات‌ها در درجات بالایی رخساره آمفیبولیت فوکانی جایگزین می‌شوند [۳]:



$\text{KAlSi}_3\text{O}_{10}(\text{OH})_2$  موسکوویت و  $\text{KAlSi}_3\text{O}_8$  فلدسپار پتاسیم است.

مجموعه دگرگونی ده‌سلم از نظر سنگ‌شناسی و رخدادهای دگرگونی به دو بخش شرقی (ده‌سلم) و غربی (گلوگاه) تقسیم می‌شود بخش شرقی شامل سنگ‌های دگرگونی با دمای بالا- فشار کم است [۱۷] که گسترش سنگ‌های ماگمایی فلزیک درون آن به بیشترین حد رسیده است. این بخش در بردارنده مجموعه‌ای از سنگ‌های پلیتی معرف دگرگونی در بخش فشارپایین رخسارهای شیست‌سیز و آمفیبولیت [۱۷] معادل با سری رخسارهای احتمالی آبکوما و شامل یک توالی ضخیم از مرمرها، متاپریدوت‌ها و پسامیت‌هایی است که شرایط دگرگونی مشابه‌ای دارند. بخش غربی مجموعه با گسترش در منطقه گلوگاه بیشتر از مجموعه ضخیمی از فیلیت‌ها، نوارها و عدسی‌هایی از آهک‌های بلوری با میان لایه‌هایی از گدازه‌های مافیک تشکیل شده است که ماهیت دگرگونی ضعیفتری از بخش شرقی دارند و به احتمال بسیار دستخوش فشار بیشتر و دمای کمتری شده است [۱۷].

علت تغییر همبرزایی در سیلیکات‌های آهکی بخش جنوب- شرقی که اغلب شامل ولاستونیت، دیوپسید و گارنت هستند نسبت به سیلیکات‌های آهکی که در بردارنده اسکاپولیت کلسیمی در نزدیکی توده گرانیتی شاه کوه که به نظر در عمق بیشتری دگرگون شده‌اند را می‌توان به حضور سیال‌های آبدار



شکل ۱۶ شب زمین‌گرمایی مجموعه شده در بخش غربی مجموعه دگرگونی دهسلم (منطقه گلوگاه).

#### مراجع

- [1] Winkler H.G. F., "Petrogenesis of metamorphic rocks", 3<sup>rd</sup> Ed. Springer, Berlin, (1974), 1-334.
- [2] Bucher K., Frey M., "Petrogenesis of Metamorphic Rocks", Berlin, Heidelberg, New York, Springer-Verlag, (1994) 334.
- [3] Bucher K., Graps R., "Petrogenesis of Metamorphic Rocks", Springer-Verlag Berlin Heidelberg, (2011) 428.
- [4] Hewitt D. A., "The metamorphism of micaceous limestones from south-central Connecticut", Am J Sci 273A, (1973) 444 - 469.
- [5] Ferry J. M., "Metamorphism of calcareous sediments in the Waterville-Vassalboro area", southcentral Maine: mineral reactions and graphical analysis, Am J Sci 276, (1976) 841–882.
- [6] Frey J. M., "Progressive low-grade metamorphism of a black shale formation", Central Swiss Alps, with special reference to pyrophyllite and margarite bearing assemblages, JPetrrol19, (1978) 93 - 135.
- [7] Frank E., "Alpine metamorphism of calcareous rocks along a cross-section in the Central Alps: occurrence and breakdown of muscovite, margarite and paragonite", Schweiz Miner Petrogr Mitt 63, (1983) 37 - 93.
- [8] Satish-Kumar M., Santosh M., Yoshida M., "Reaction textures in calc-silicates as guides to the pressure-temperature fluid history of granulite facies terrains in east Gondwana", Journal of Geosciences, Osuka city university, v. 38, Art 5, (1995) 89 - 114.
- [9] Sahandi M., "Dehsalm Geological Map 1:250000", Geological Survey of Iran, Tehran (1992).

#### برداشت

در بخش شرقی مجموعه دگرگونی دهسلم، مجموعه‌ای از سنگ‌های سیلیکاتی آهکی به همراه متابازیت و متاپیریدوتیت وجود داردند که به نظر می‌رسد که در شرایط مشابه دگرگون شده‌اند. نتایج بررسی‌های کانی‌شناسی بیانگر حضور کانی‌های کوارتز، کلسیت، فلدسپات قلیابی، پلاژیوکلاز، اسفن و اسکاپولیت در سیلیکات‌های آهکی مورد بررسی است. براساس نتایج تجزیه‌های شیمیایی با ریزکاو الکترونی، اسکاپولیت‌های موجود در گروه اسکاپولیت‌های کلسیمی جای دارند و دارای ترکیب ( $\text{Me}^{\text{O}}\% = 70 - 80$ ) میزونیت هستند. حضور همبرزایی اسکاپولیت + پلاژیوکلاز + ارتوز + تیتانیت در سیلیکات‌های آهکی مورد بررسی بیانگر دگرگونی این سنگ‌ها در شرایط رخساره آمفیبوليٹ بالایی تا گرانولیت است. دما - فشارسنجی متابازیت‌ها و متاپلیت‌های کنار سنگ‌های سیلیکاتی آهکی دارای اسکاپولیت نیز بیانگر دگرگونی پیشرونده تا حد رخساره گرانولیت در متابازیت‌هایست و نشان می‌دهد که سنگ‌های متابازیت و سیلیکاتی آهکی در دگرگونی ناحیه‌ای پیشرونده با شرایط یکسان ایجاد شده‌اند [۱۶، ۱۵]. براساس نتایج دما و فشارسنجی‌های انجام شده بر مجموعه‌های متابازیت [۱۵]، حضور مجموعه‌های متابازیت و سیلیکاتی آهکی را می‌توان به یک رخداد دگرگونی ناحیه‌ای ژوراسیک پسین به احتمال بسیار در موقعیت کمان ماقمایی پهنه فروزانش نئوتیس نسبت داد [۱۶، ۱۵].

#### قدردانی

از پروفسور ناکاشیما کوزو در بخش علوم‌زمین و محیط‌زیست دانشگاه یاماگاتای کشور ژاپن برای انجام تجزیه‌های شیمیایی صمیمانه قدردانی می‌نماییم.

- [23] Davoudzadeh M., Soffel H., Schmidt J., "On the rotation of central- East Iran microplate", N.jb. Geol. Palaont. Mh 3, (1981) 108 - 192.
- [24] Reyer D., Mohaffez A., "A first contribution of the NIOC-ERAP agreements to the knowledge of Iranian geology", Edition Techniqs Paris, (1972) 50 - 58.
- [25] Crawford A. R., "A summary of isotropic age data for Iran, Pakistan and India", Memories hors serie de la societe geologique de France, 8, (1977) 251 - 260.
- [26] Esmaeily D., Nedelec A., Valizadeh M.V., Moore F., Cotton J., "Petrology of Jorassic Shah-Kuh granite (eastern Iran), with reference to tin mineralization", J Asian Earth Sci 25, (2005) 961 - 980.
- [27] Spear F. S., "Metamorphic phase equilibria and pressure-temprature-time paths", Mineralogical society of America, monograph Series. BookCrafters, Inc., Chelsea, Michigan, U.S.A, (1993) 799
- [28] Sokolva E, Hawthorne F. C., "The crystal chemistry of the Scapolite- Group minerals. Crystal structure and Long- Range order", The Canadian mineralogist, vol. 46, (2008) 1527 - 1559.
- [29] Shaw M., "The geochemistry of scapolite", Part I, Previous work and geneqaml ineralogyJ. Petrol.1, (1960) 218 - 261.
- [30] Teertstra D. K., Sherriff B. L., "Substitutional mechanisms, compositional trends and the end-member formulae of scapolite", Chem. Geol, v. 136, (1997) 233 - 260.
- [31] Evans B.W., Shaw D. R., Haughton D. M., "Scapolite stoichiometry Contrib", Mineral. Petrol , 24, (1969) 293 - 305.
- [32] Harley S. L., Buick, I. S., "Wollastonite-scapolite assemblages as indicators of granulite pressure-temperature-fluid histories", the Rauer Group, East Antarctica, J Petrol 33 (1992) 693 - 728.
- [33] Teertstra D. K., Sherriff B. L., "Scapolite cellparameter trends along the solid-solution series", Am. Mineral, v. 81, (1996) 169 - 180.
- [34] Hassan I., Buseck. P. R., "HRTEM Characterization of scapolite solid-solutions", Am. Mineral., v. 73, (1988) 119–134.
- [35] Baker J., Newton R. C., "Experimental determined activity– composition relations for Ca-rich scapolite in the system  $CaAl_2SiO_8-NaAlSi_3O_8-CaCO_3$  at 7 kbar", Am. Mineral.,v. 80, (1995) 744 - 751.
- [36] Brocker M., Fotoohi Rad Gh., Abbaslu F., Rodionov N., "Geochronology of high-grade metamorphic rocks from the Anjul area, Lut block, eastern Iran", Journal of Asian Earth Sciences. (2014) 82, PP: 151-162.
- [10] Mahmoodi SH., "Petrology of metamorphic rocks of the Dehsalm complex" (in Persian). MSc thesis, University of Tehran, Tehran, Iran (2004).
- [11] Arefnejad M., "Deformation study of Dehsalm metamorphic complex, west of Chahdashi." (in Persian). Msc thesis, University of Sistan and Baluchestan, Zahedan, Iran (2010).
- [12] Mokhtari N., "Geochemistry of Granitoid rocks from East of Lut Block: Constraints on the nature of the crust in Eastern Iran," (in Persian).MSc thesis, University of Sistan and Baluchestan, Zahedan, Iran (2012).
- [13] Bahramnejad E., "Metamorphic study of the Dehsalm complex, with a special notice to geochemistry of Garnet-Staurolite-bering rocks, east of Lut Block," (in Persian). MSc thesis, University of Sistan and Baluchestan, Zahedan, Iran (2015).
- [14] Naseri A., "Petrology of mafic and ultramafic rocks of the Dehsalm metamorphic complex," (in Persian). east of Lut Block. MSc thesis, University of Sistan and Baluchestan, Zahedan, Iran (2015).
- [15] Bagheri S., Biabangard H., Naseri A., Zahedi A., Kuzuo N., "Using amphibole geochemistry in tectono-metamorphic evolution of the Deh-Salm metamorphic complex," (in Persian). Iranian Journal of Crystallography and Mineralogy, 24 (3) :605-618 (2016).
- [16] Bahramnejad E., Bagheri S., Ahmadi A., Zahedi A., "Progressive metamorphism in metapelites of the Deh-Salm Metamorphic Complex, east of the Lut Block, according to thermometry of Garnet-Biotite," (in Persian). Scientific Quarterly Journal, GEOSCIENCES, V. 26, NO. 102 (2017).
- [17] Mahmoudi SH., Masoudi F., Corfu F., Mehrabi B., "Magmatic and metamorphic history of the Deh-salm metamorphic Complex, Eastern Lut Block, (Eastern Iran)", from U-Pb geochronology. In: Journal Earth Science (Geol Rundsch) V. 99, (2009) 1153 - 1165.
- [18] Naderi mighan N. and Akrami M.A. "Explanatory text of Chah-Dashi. Geological Quadrangle Map 1:100000," Geological Survey of Iran, Tehran (2005).
- [19] Akrami M.A. and Naderi mighan N. "Dehsalm Geological Map 1:100000," Geological Survey of Iran, Tehran (2005).
- [20] Hamzehpour B. Chahar-farsakh Geological Map 1:100000," Geological Survey of Iran, Tehran (2003).
- [21] Stöcklin J., Eftekhar-Nezhad J., Hushmand-zadeh A., "Central Lut reconnaissance, East Iran", Geological Survv Iran, Vol. 22, (1972) 62 - 70.
- [22] Berberian M., "Structural history of Lut Zone.Geological Survey of Iran",Tehran Internal Report,Vol, 34 (1973).